

Ausencia del arco posterior del atlas

Absence of the posterior arch of the atlas

JORGE IGNACIO MAGAÑA-REYES, LUIS GERARDO DOMÍNGUEZ-CARRILLO • LEÓN (MÉXICO)

DOI: <https://doi.org/10.36104/amc.2022.2360>

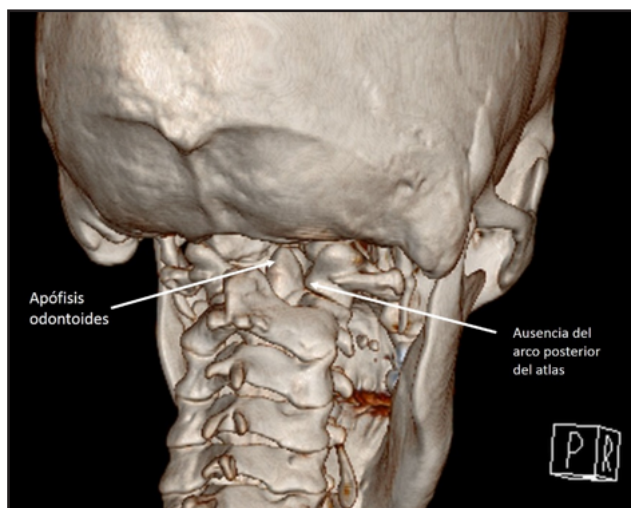


Figura 1. Imagen de tomografía computarizada con reconstrucción en 3D de columna cervical en vista posterior, mostrando ausencia total de arco posterior del atlas, observando directamente a la apófisis odontoides.

Los defectos congénitos del arco posterior del atlas se estiman con incidencia de 0.7 a 3% (1). La mayoría de los pacientes son asintomáticos, el diagnóstico se efectúa de manera casual en radiografías de columna cervical; existiendo posibilidad de confundirlos con fractura o luxación proximal de columna cervical (2). (Figura 1). Embriológicamente, durante la séptima semana de gestación existen tres centros de osificación del atlas: el centro anterior origina al tubérculo anterior, dos centros laterales forman las masas laterales y el arco posterior que incluye el tubérculo posterior; en 2% de la población se observa un cuarto centro de osificación que forma el tubérculo posterior; la unión se produce entre las edades de 3 a 10 años (3). La clasificación de Currarino (4) menciona cinco tipos de anomalía (Figura 2), la tipo A en 95% de los casos, el caso presentado se catalogó de tipo E.

Referencias

1. Sabuncuoglu H, Ozdogan S, Karadag D, Kaynak ET. Congenital hypoplasia of the posterior arch of the atlas: case report and extensive review of the literature. *Turk Neurosurg.* 2011; **21**: 97-103.
2. Ouyang ZY, Qiu MJ, Zhao Z, Wu XB, Tong LS. Congenital anomaly of the posterior arch of the atlas: a rare risk factor for posterior circulation stroke. *J Neurointerv Surg.* 2017; **9** (7): e27. doi: 10.1136/neurintsurg-2016-012731.
3. Junewick JJ, Chin MS, Meesa IR, Ghori S, Boynton SJ, Luttenon CR. Ossification patterns of the atlas vertebra. *AJR Am J Roentgenol.* 2011; **197**: 1229-1234.
4. Currarino G, Rollins N, Diehl JT. Congenital defects of the posterior arch of the atlas: a report of seven cases including an affected mother and son. *AJNR Am J Neuroradiol.* 1994; **15**: 249-254.

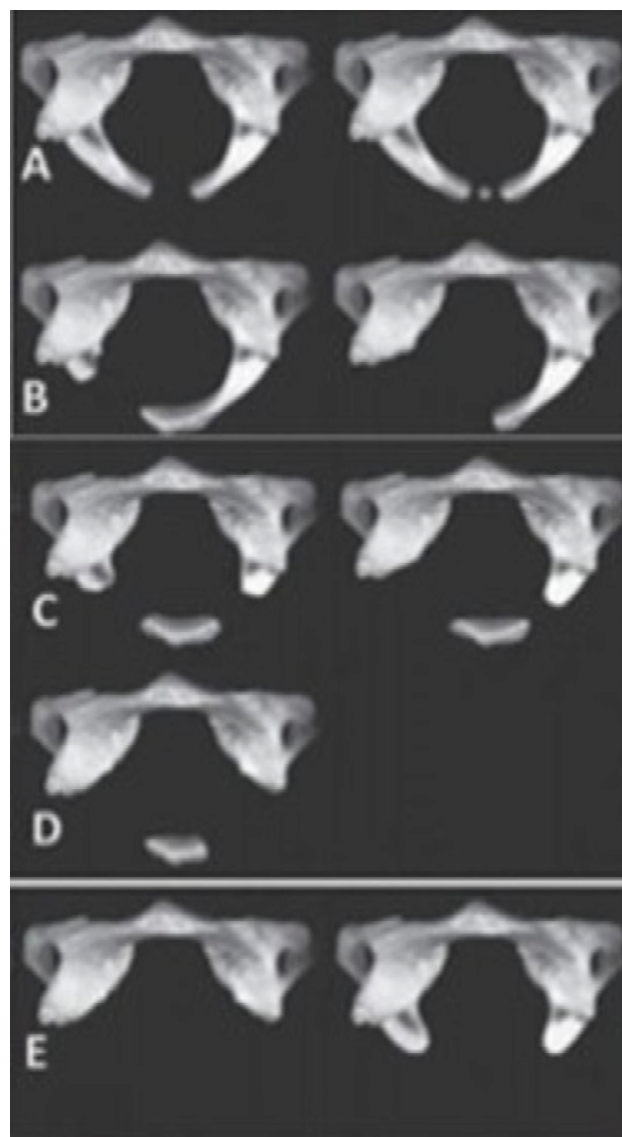


Figura 2. Clasificación de Currarino (4) mostrando los diferentes tipos de anomalías congénitas del arco posterior del atlas. Tipo A: ausencia de fusión en la línea media de los arcos posteriores; B: hendidura unilateral por ausencia de un hemiarco; C: ausencia de ambos hemiarcos; D: ausencia total de del arco posterior con persistencia del tubérculo posterior; E: ausencia total de arco posterior y ausencia del tubérculo posterior.

Dr. Jorge Ignacio Magaña-Reyes: Especialista en Radiología e Imagenología. Gestalt Imagen, León, Guanajuato; Dr. Luis Gerardo Domínguez-Carrillo: Especialista en Medicina de Rehabilitación. Catedrático Facultad de Medicina de León, Universidad de Guanajuato. León (México).

Correspondencia: Dr. Luis Gerardo Domínguez Carrillo. León (México).

E-Mail: lgdominguez@hotmail.com Recibido: 7/X/2021 Aceptado: 3/XI/2021